船体構造部材の腐食疲労強度とその評価

紀 徳* 正員 \blacksquare 井 上 明* 正員 江 原 本 州 史*** 正員 正員 太 田 伏 見 正員

Corrosion Fatigue Strength Evaluation for Ship Hull Structure

by Hironori Kino
Katsuaki Inoue, Member
Kunifumi Hashimoto, Member
Akira Fushimi, Member

Masuo Tada, *Member* Ryuichiro Ebara, *Member* Akihiko Ohta, *Member*

Summary

Corrosion fatigue tests of the three types of specimen (small size elementary component, middle size elementary component and structural component) with boxing fillet welded joint of TMCP steel (KA 32) were conducted in synthetic sea water at 40°C which is nearly the same environments as actual ballast tanks. As a result of testing and fatigue life prediction analysis, the following conclusions were obtained.

- (1) Corrosion fatigue life in 40° C sea water shows 50% reduction comparing with the life in air (corrosion factor for strength (K_c) is 1.3). This environment factor is the same for three configurations of specimen.
- (2) Fatigue life at failure of small size specimen is equal to the number of cycles in which the crack in structural component specimen propagates to 30 mm length. This phenomenon is shown in both air and 40°C sea water.
- (3) Fatigue life prediction of ship hull structure is simplified by adopting the proposed evaluation methods that replace the complicated small crack growth analysis at the toe area of welded joint by the failure life in small size specimen.

1. 緒 言

船舶のバラストタンクなどの腐食環境中における疲労強度信頼性の向上あるいは寿命予測のためには、実環境が疲労強度に及ぼす影響の把握、さらには試験片レベルの研究

成果を実構造の腐食疲労強度評価へ適用する手法の開発が 必要である。

バラストタンクの環境調査結果によれば、タンク内の温度は 40~60°C程度まで上昇するとの報告があるり。しかしながら、試験の困難さから高温海水環境中でしかも疲労亀裂損傷が多い溶接継手部で疲労強度が確認された例は極めて少ない。また、環境を考慮しなくてもよい大気中であれば、試験片レベルから実構造に至るまでの統一的な疲労強度評価手法が検討・提案されている^{2),3)}が、腐食環境中での適用に関しては検証されていない。

本論文では、船体構造を模擬した大型構造試験体を供試 して,実環境により近い条件下での腐食疲労試験を実施し、 その腐食疲労挙動を調査した結果について述べる。さらに、 大型構造試験体と小型試験片を用いた腐食疲労試験結果と

原稿受理 平成8年7月10日 秋季講演会において講演 平成8年11月14,15日

^{*} 三菱重工業(株)長崎研究所

^{**} 三菱重工業(株)広島研究所

^{***} 三菱重工業(株)長崎造船所

^{****} 科学技術庁金属材料技術研究所

^{*****} 東京大学工学部

の相関性を調査して,小型試験片による試験結果からの船 体構造部材の腐食疲労寿命推定法を検討した。

なお、本論文における実験は、日本造船研究協会(SR) 第 220 研究部会「バラストタンクの腐食疲労に関する研究」 40 の一環として実施されたものである。

2. 検討対象構造ならびに環境条件

バラストタンクには通常タールエポキシ塗装が施されているが、応力集中部や鋼板エッジ部などでは、早期に塗膜の劣化や剝離が生じることが確認されているが。船体構造のスチフナやブラケット基部およびスカラップの溶接部は、応力が集中するとともに規定の塗装条件の確保が困難な部位であり、腐食疲労亀裂の発生が懸念される。そこで、ロンジフェース面のスチフナ基部に疲労損傷が発生した最近の経緯がも踏まえて、ロンジとトランスの交差部を検討対象部位として選定した。すなわち、ロンジとトランスとの交差部に設けられたスチフナのロンジフェース面側の角回し隅肉溶接止端部の腐食疲労亀裂を対象にしている。

バラストタンクは、海水の出入による乾湿交番さらには 最高約60°C程度までの温度変化をともなう。しかし、大型 構造試験体において多くの環境因子を変えて試験を行うの は困難である。また、実環境により近い条件下での大型構 造試験体と小型試験片の相関が得られれば、環境因子を変 えた小型試験片の結果から大型構造試験体(換言すれば実 構造)の環境疲労強度が推定できると考える。したがって、 試験環境条件としては、40°C海水中の1条件とした。なお、 各種の環境因子を変えた小型試験片の腐食疲労試験結果が SR 220 の研究成果として得られているか。さらに、腐食疲労 試験の事例を調査した結果がによれば、大型構造試験体を 供試した高温(40°C)海水中の試験は過去に実施されたこ とがない。

3. 供試材ならびに試験片

前述したように、本論文で評価対象とする船体構造部材は、バラストタンク内のロンジとトランスとの交差部である。さらに、疲労亀裂の発生位置は、当該交差部に設けられたスチフナのロンジフェース側の基部、すなわちロンジフェース面上のスチフナ角回し隅肉溶接の止端部を想定している。

上述した評価対象部材に使用される鋼材を前提にして、 供試材には日本海事協会規格 KA 32 鋼板を選定した。供試 材の化学成分を Table 1 に、機械的性質を Table 2 に示 す。同表に示すように、供試材は板厚 10 mm で非水冷型 TMCP で製造されている。なお、鋼板表面は、ショットブ ラスト (Sa 2.5)後、無機ジンク・ショッププライマーが 15 μm 厚に塗布されている。

供試した試験片は,角回し隅肉溶接部を有する下記の3 種類である。

Table 1 Chemical compositions of steel used

	Steel	Thick. (mm)		Si (%)	Mn (%)	P (%)	S (%)
	KA32 (TMCP)	10	0.14	0.20	1.13	0.018	0.005

Table 2 Mechanical properties of steel used

	Steel	Thick. (mm)	YP (MPa)	TS (MPa)	EI. (%)
	KA32 (TMCP)	10	385	492	25

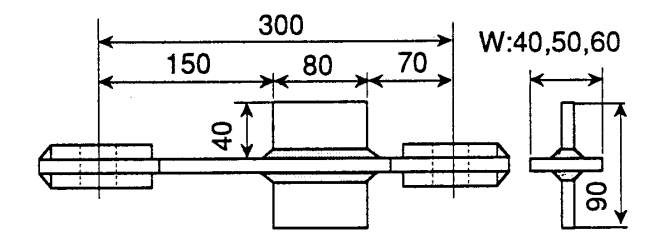


Fig. 1 Configuration of small size elementary component specimen (SM)

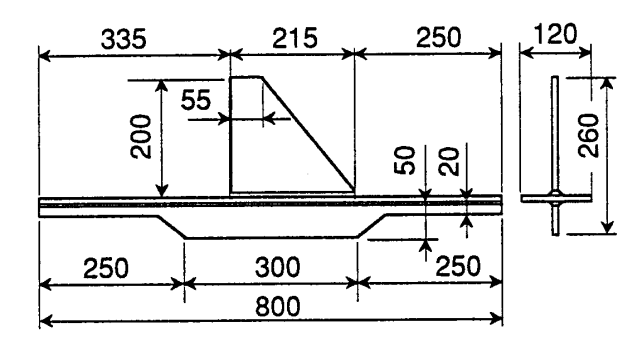


Fig. 2 Configuration of middle size elementary component specimen (MM)

- (1) 小型試験片(略号 SM): Fig. 1 に示すように,ロンジフェースに相当する主板の表裏面上にリブを溶接し,角回し隅肉溶接部の基本要素のみを再現した試験片である。角回し隅肉溶接部の疲労強度の基本特性を把握するために供試した。また,一台の試験機で複数の試験が可能なように,幅を40,50 および60 mm に変更し試験応力を調整した。疲労試験は,軸力で実施した。
- (2) 中間型試験片(略号 MM): Fig. 2 に示すように, 主板の表面上にリブを溶接し,裏面には実構造での ロンジウェブに相当する面材を隅肉溶接している。 主板の幅は,下記(3)の大型構造試験体のフェース 幅と同一にした。この試験片は,実構造の構造要素

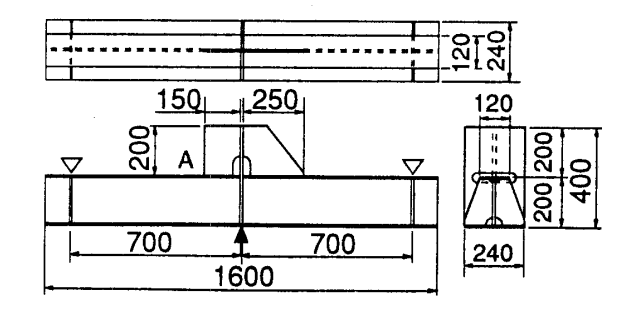


Fig. 3 Configuration of structural component specimen (LM)

を比較的小型の試験片で再現したものである。疲労 試験は、軸力で実施した。

(3) 大型構造試験体(略号LM): Fig. 3 に示すように,実船のロンジ/トランス交差部の構造を模擬したものである。疲労亀裂発生部は,図中のA側のフェース上角回し隅肉溶接止端部である。疲労試験は,図に示したように,スパン1400 mm で隔壁相当材の位置に負荷する3点曲げで実施した。

試験片は、全て炭酸ガス半自動隅肉溶接で製作した。溶接の目標脚長は、6 mm とした。また、試験には、溶接ままの状態で供試した。

4. 試験片の FEM 応力解析

角回し隅肉溶接部を有する3種類の試験片に対して、ソリッド要素を用いたFEM 応力解析を実施した。FEM の構造モデルでは、溶接ビードもソリッド要素でモデル化し、隅肉溶接による非溶着部も考慮している。

Fig. 4 に、FEM 解析結果による各試験片の表面応力(試 験片幅中央部の試験片長手方向応力)分布を比較している。 さらに、Fig. 5 に板厚方向応力(試験片幅中央部のビード止 端部からの表面距離が 2.5 mm 位置での試験片長手方向 応力)分布を比較している。図中の応力は、FEM による解 析値 σ と公称応力 ω の比で示している。ここで, 小型試験 片(SM)および中間型試験片(MM)の のは軸力による 公称応力である。また,大型構造試験体 (LM) の の は梁 計算から算出したビード止端相当位置の表面応力である。 角回し隅肉溶接部を有する3種類の試験片の応力状態はそ れぞれ異なり、ビード止端近傍の応力集中は、表面および 板厚方向ともに高い順に, 大型構造試験体 (LM), 中間型 試験片(MM),小型試験片(SM)である。ただし,ビー ド止端部の極く近傍の応力状態に着目した場合、表面およ び板厚方向ともに,大型構造試験体 (LM) と中間型試験片 (MM)の差はわずかであり、中間型試験片の構造条件は大 型構造試験体とほぼ等しいことが明らかである。

Fig. 6~Fig. 8 に,各試験片表面応力の FEM 解析結果と 実験結果(実測値)とを対比して示す。試験片に生じる溶 接変形を考えれば、解析値と実測値とは概ね一致している

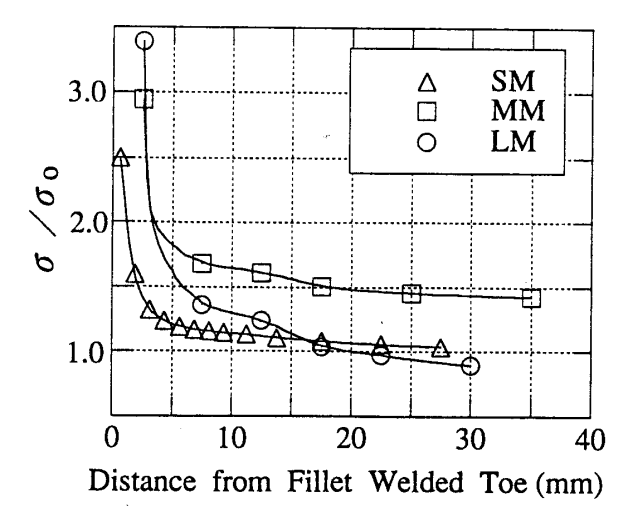


Fig. 4 Local stress distribution of plate surface

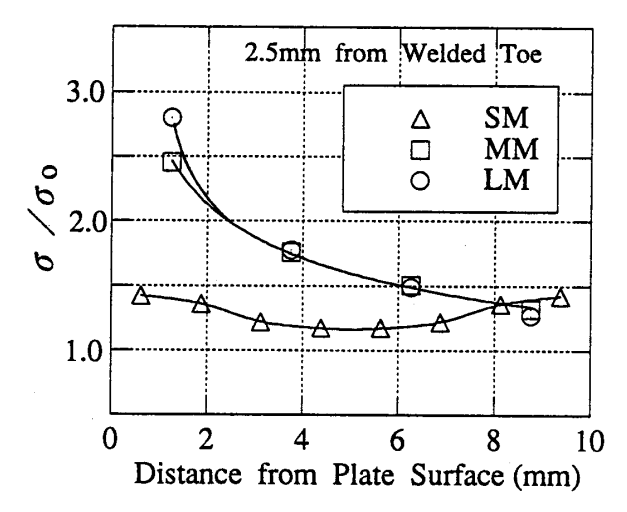


Fig. 5 Local stress distribution of plate thickness direction

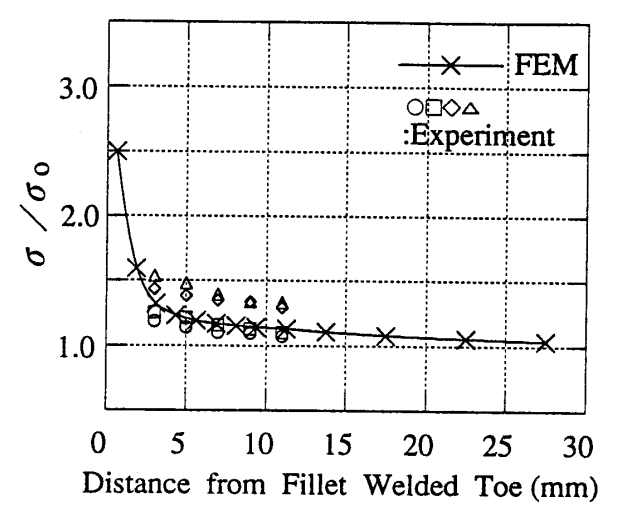


Fig. 6 Comparison of local stress of experiment with that of FEM (SM specimen)

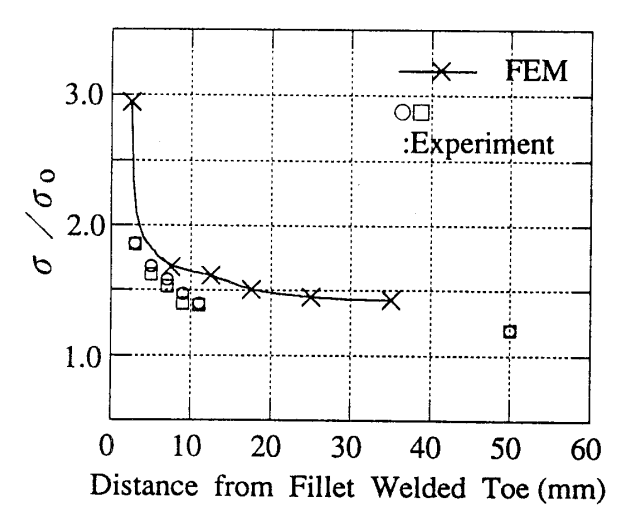


Fig. 7 Comparison of local stress of experiment with that of FEM (MM specimen)

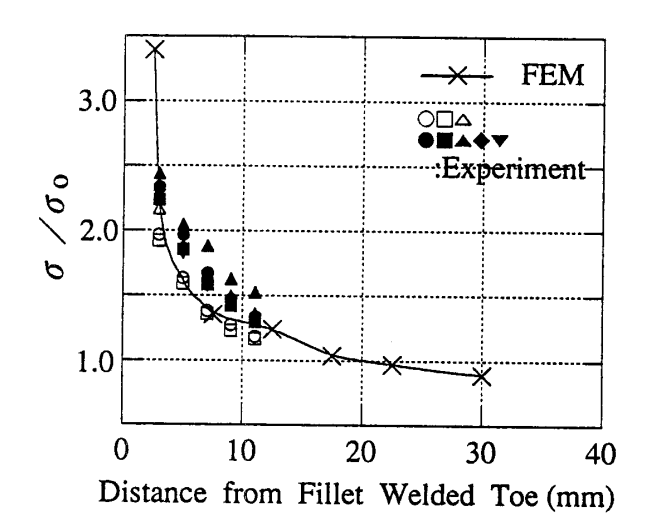


Fig. 8 Comparison of local stress of experiment with that of FEM (LM specimen)

といえよう。

5. 腐食疲労試験およびその結果

角回し隅肉溶接部を有する3種類の試験片の,室温大気中および40℃海水中の疲労試験を実施した。

大気中の疲労試験条件は、繰返し速度が $3\sim7$ Hz, 応力比(R)が0.1である。

海水中の疲労試験は、pH 8.2、温度 40°Cを目標に制御し、空気吹込みによる空気飽和状態の人工海水(アクアマリン)中で実施した。この場合の、繰返し速度は 0.17 Hz、R は 0.1 である。Fig. 9 に、小型試験に用いた人工海水循環装置の概要を示す。貯水量 200 リットルのタンクを備え、恒温槽で温度制御したのち腐食水槽(容量 0.4 リットル)へ人工海水を供給する。流量は、腐食水槽内の人工海水が約 1分間で入れ替わる程度である。Fig. 10 に、大型構造試験体の腐食疲労試験装置の概要を示す。腐食水槽の容積は約 2,000 リットル(試験時の人工海水使用量は約 1,500 リッ

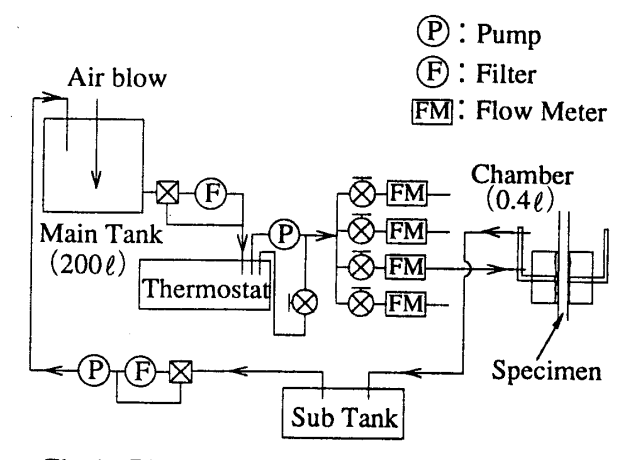


Fig. 9 Diagram of corrosion fatigue test for SM specimen

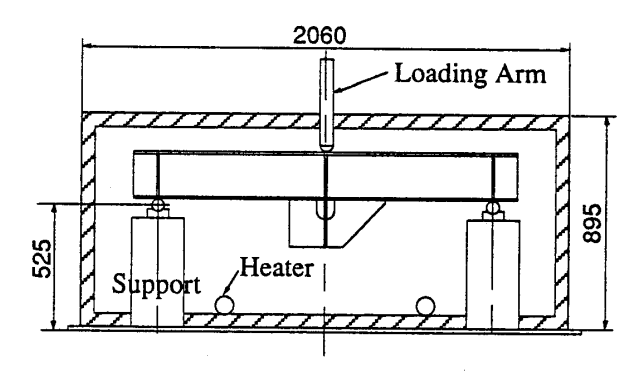


Fig. 10 Apparatus of corrosion fatigue test for LM specimen

トル)であり、人工海水中に空気を送給するコンプレッサー、水槽内で人工海水を循環させるための水中ポンプおよび温度を制御するためのヒーターを備えている。なお、人工海水の蒸発分は、pH および電気伝導度を管理して、蒸留水を補充し水位が一定になるように管理した。

室温大気中の疲労試験結果を,公称応力範囲(Δσ₀)と破 断繰返し数 (N_f) との関係で Fig. 11 に示す。さらに, 40° C 人工海水中の結果を,Fig. 12 に示す。 なお,大型構造試験 体の N_f は、フェース破断で定義している。室温大気中、 40°C人工海水中ともに、大型構造試験体 (LM), 中間型試 験片(MM)の結果はほぼ等しく,それに比べ小型試験片 (SM)の疲労強度が高くなっている。4章に示した3種類の 試験片の FEM 応力解析結果によれば、疲労亀裂発生部で ある角回し隅肉溶接ビード止端部の近傍の応力状態に着目 した場合、大型構造試験体および中間型試験片はほぼ同等 であり、これに比べ小型試験片の応力集中は低い。Fig. 11 および Fig. 12 の結果は、試験片の応力状態 (応力集中) の 違いによるものと考えられる。なお,中間型試験片(MM) と大型構造試験体(LM)の疲労試験結果によれば、構造要 素を合わせ応力状態を再現することで,比較的小型の試験 片で構造試験体の疲労強度を把握できそうである。

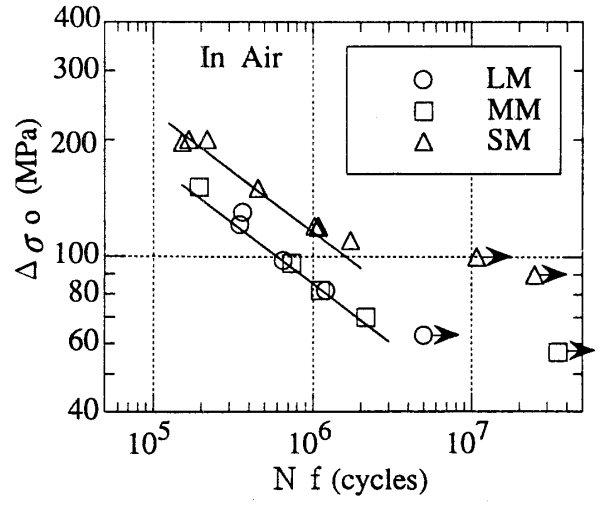


Fig. 11 $\Delta \sigma_0 - N_f$ diagram in air

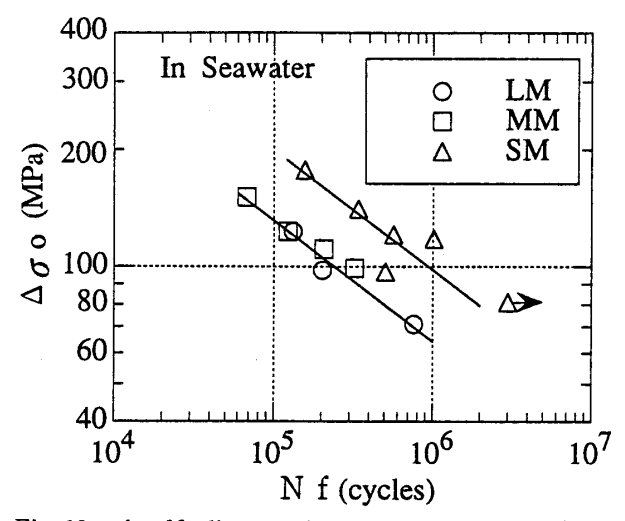


Fig. 12 $\Delta \sigma_0$ - N_f diagram in synthetic seawater (40°C)

構造的応力集中の異なる試験片の照査応力として, 疲労 亀裂発生部近傍の応力分布状態に着目したホットスポット 応力が提案されている2。一方, 角回し隅肉溶接部を有す る,小型試験片(Fig.1と同様の形状で幅50~150 mm)と 船体のロンジ構造を模擬した大型構造試験体 (幅 100~300 mm)との疲労試験結果の相関性を検討した従来の研究成 果3)によれば、小型試験片の破断寿命は大型構造試験体で 表面亀裂長さが約30mm(リブ板厚と両サイドの隅肉脚長 の和に相当)に達する寿命 $(N_{2a=30})$ とほぼ等価であるとさ れている。なお, 実構造物の角回し隅肉溶接部の疲労亀裂 を考えた場合、その先端が角回し部の溶接ビードから外に 出ないと発見が困難であることを考慮すれば、大型船の板 厚および溶接脚長から、表面亀裂長さ30 mm は実船にお ける目視検査の実用的最小発見長さといえるで、すなわち、 工業的な観点からは、表面亀裂長さ30 mm を船体の角回 し隅肉溶接部の疲労亀裂発生と考えることもできよう。な お、ホットスポット応力の有効性および小型試験片と大型 構造試験体との関係は、大気中の疲労試験に基づき検討さ

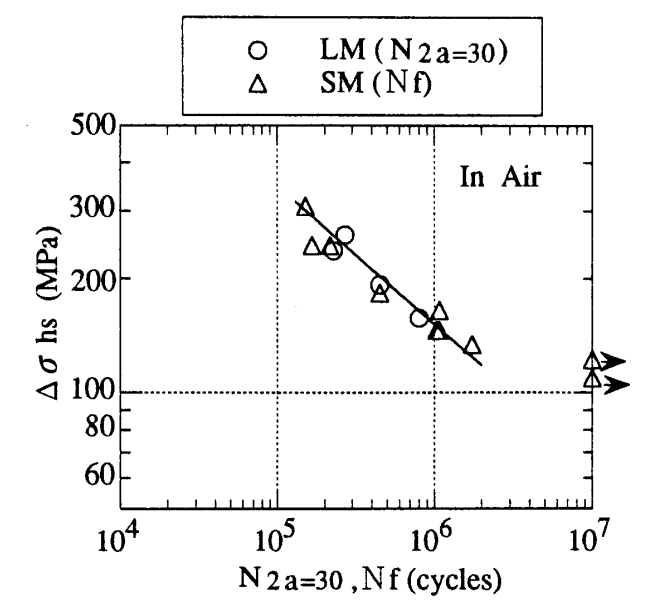


Fig. 13 $\Delta \sigma_{hs}$ -N diagram in air

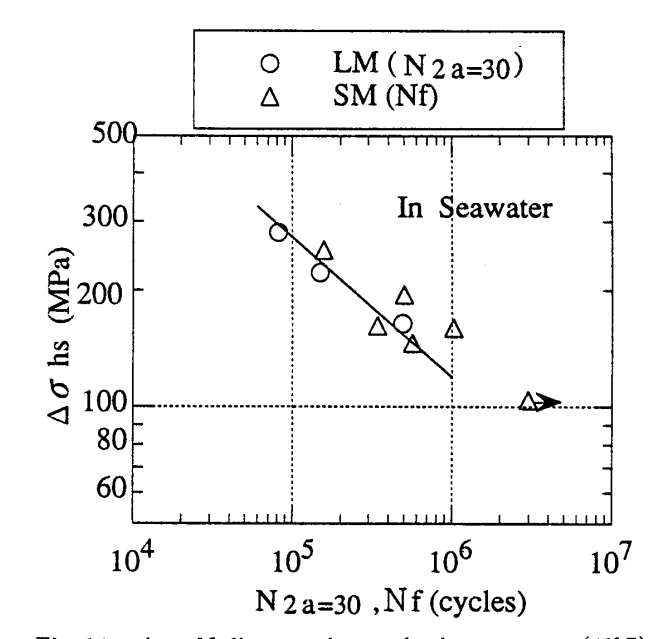


Fig. 14 $\Delta \sigma_{ns}$ -N diagram in synthetic seawater (40°C) $\hbar \tau v 3$.

SR 202²⁾ で提案されている B 法 (フェース (板厚:t) 上のビード止端部から 0.5t と 1.5t の 2 点の応力を基準として、ビード止端部の応力を直線外挿する)に基づくホットスポット応力範囲 $\Delta \sigma_{ns}$ を疲労強度評価の基準応力に用いて、小型試験片の N_f と大型構造試験体で表面亀裂長さが 30 mm となる繰返し数 ($N_{2a=30}$) を対比した結果を、Fig. 13 および Fig. 14 に示す。なお、 $\Delta \sigma_{ns}$ は、試験片毎の応力の実測値から決定した。 $\Delta \sigma_{ns}$ と公称応力範囲 $\Delta \sigma_{0}$ との比 ($\Delta \sigma_{ns}/\Delta \sigma_{0}$) は、大型構造試験体 (LM) では $1.9 \sim 2.3$ 、小型試験片 (SM) では $1.2 \sim 1.4$ であった。なお、後述する (Fig. 17) 中間型試験片 (MM) では, $1.8 \sim 2.3$ である。 Fig. 13 の室温大気中、Fig. 14 の 40°C人工海水中いずれの場合

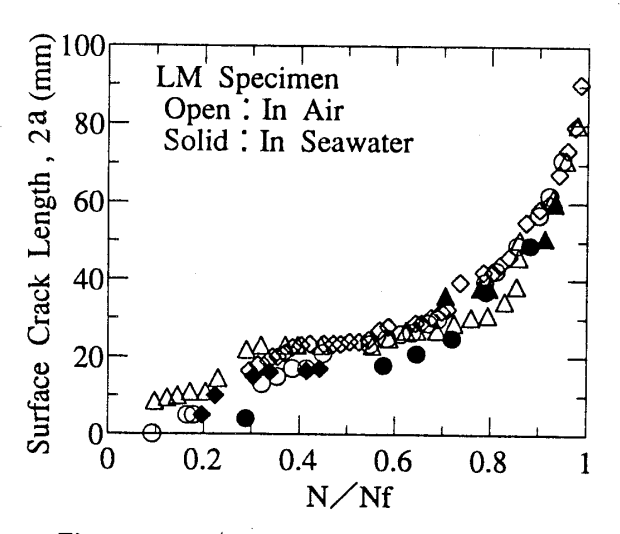


Fig. 15 $2a-N/N_f$ diagram of LM specimens

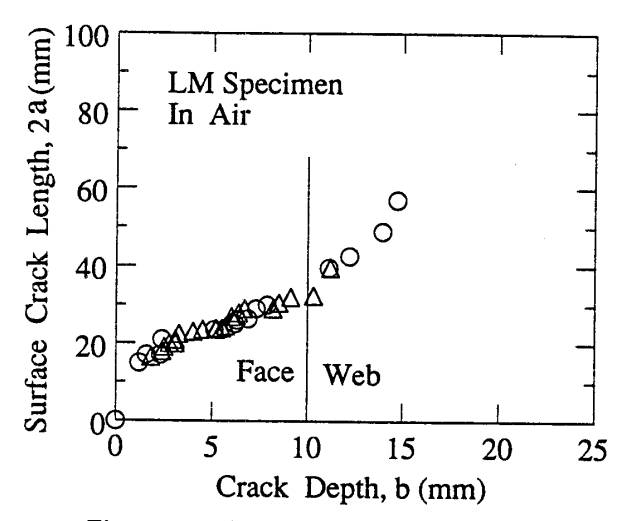


Fig. 16 2a-b diagram of LM specimens

も,小型試験片(SM)の結果と大型構造試験体(LM)の結果は概ね一致している。これらの結果から,ホットスポット応力を用いた疲労強度評価は腐食疲労においても有効であり,この評価法を用いた小型試験片の N_r は大型構造試験体の $N_{2a=30}$ に相当する(大気中,海水中ともに)ことが明らかである。

Fig. 15 には,大型構造試験体 (LM) の表面亀裂長さ (2a) と任意の繰返し数 (N) と破断寿命 (N_f) との比 (N/N_f) との関係を示す。また,Fig. 16 には,表面亀裂長さ (2a) と亀裂深さ (b) との関係を示す。表面の亀裂長さは目視で,亀裂の深さは電気抵抗式亀裂深度計で測定した。室温大気中, 40° C人工海水中ともに非常に早期に亀裂が発生するが,2a が $20\sim30$ mm の領域で表面亀裂の成長が遅滞する傾向がある。ただし,この領域においても,板厚方向には亀裂が成長している。室温大気中と 40° C人工海水中には最終寿命に差はあるものの,寿命比 (N/N_f) に対する亀裂長さに有意差は見られず,亀裂成長の形態は同様と考えられる。なお,Fig. 16 から,先に定義した表面亀裂長さ 30 mm の場合

の亀裂深さは約6~8 mm である。

次に,室温大気中 (Fig. 13) と 40° C人工海水中 (Fig. 14) との疲労強度を比較した場合,小型試験片 (SM) の N_f ,大型構造試験体 (LM) の $N_{2a=30}$ ともに, 40° C人工海水中では室温大気中の寿命の約 50% (腐食係数, $K_c:1.3$)程度である。

6. 腐食疲労寿命推定法に関する考察

ロンジフェース上の角回し隅肉溶接部からの疲労亀裂伝播解析において亀裂が微小な場合には、構造的応力集中とそれにともなう応力分布を考慮した高度な解析手法が必要となる。しかし、5章で述べた小型試験片の N_f が大型構造試験体(換言すれば実構造)の $N_{2a=30}$ であることを仮定すれば、船体に影響を及ぼす長い疲労亀裂の伝播解析では、局部的な要因の影響を受ける微小亀裂時の伝播寿命を小型試験片で求めた N_f に代表させ、実構造での表面亀裂長さ $30~\rm mm$ 以降の疲労亀裂を対象にすればよいことになる。すなわち、構造部材の寿命(フェース破断、ウェブ破断など定義された寿命)は、(1)式で表わすことができる。

 $N_f(Structure) = N_f(Specimen)$

$$+N_{p,2a\geq30}(Structure)$$
 (1)

ただし、N_f(Structure):構造部材の寿命

N_f(Specimen):小型試験片の破断寿命

 $N_{p,2a \ge 30} (Structure)$:構造部材で表面亀裂長さが 30

mm 以降の伝播寿命

以上の考え方に基づき,室温大気中の小型試験結果から室温大気中および40°C人工海水中の大型構造試験体の疲労寿命推定を試みた。

- (1) 前提条件
 - 1) 大型構造試験体の寿命は、フェース破断とする。
 - 2) 初期亀裂は,長さ(2a)30 mm の板厚貫通亀裂とする。Fig. 16 に示したように,表面亀裂長さ30 mm の時点で深さはすでに6~8 mm に達しており,板厚貫通までの伝播寿命の寄与率は低い。
 - 3) 応力条件としては、フェースの一様引張り(公称) 応力と、ウェブが存在することによる亀裂中央の集中力を考える。すなわち、角回し隅肉溶接部の構造的応力集中や溶接残留応力の影響は、小型試験片の破断寿命に含まれているものと考える。

(2) 疲労亀裂伝播計算

疲労亀裂の伝播条件式としては、(2)式の Paris 則を用いる。

$$da/dN = C \cdot \Delta K^m \tag{2}$$

ただし、da/dN:1 サイクルあたりの亀裂伝播量(mm/cycle)

 ΔK : 応力拡大係数範囲 $(MPa\sqrt{m})$

C, m は材料定数であり、次の値を用いた。

室温大気中 8): $C=7.34\times10^{-11}$, m=4.35 (3)

 40° C人工海水中 $^{8),9}$: $C=2.10\times10^{-10},\ m=4.35$ (4) なお, 40° C人工海水中のC,m値は, 25° Cにおける実験値から、温度影響 9 を考慮して 40° Cに補正した値である。

また、 ΔK の計算には、(5)式 \sim (7)式を用いた。

$$\Delta K = \Delta K_N + \Delta K_P \tag{5}$$

$$\Delta K_N = \sigma_0 \sqrt{\pi a} \cdot F_N(a/w) \tag{6}$$

$$\Delta K_P = (P/\sqrt{\pi a})F_P(a/w) \tag{7}$$

ただし、 ΔK_N :フェースの公称応力による ΔK

 ΔK_P : 亀裂中央部の集中力による ΔK

ω:フェースの公称応力

P: 亀裂中央部の集中力

 $F_N(a/w), F_P(a/w)$: 亀裂長さ(a)とフェース 幅(w)との関数 10

なお、亀裂中央部の集中力 (P) は、隅肉溶接の脚長を考慮し、(8)式で求めた。

$$P = (\sigma_w \times 2l \times t)/t \tag{8}$$

ただし, σ_w:隅肉溶接部の公称応力(フェースの公称応力 σ と等しいとした)

l:溶接脚長

t:フェース板厚

以上述べた、(2)式 \sim (8)式から、板厚貫通亀裂長さ 30 mm からの大型構造試験体のフェース破断までの寿命 $(N_{P,2a\geq30}(\text{Structure}))$ を算出した。

(3) 寿命推定

大気中小型試験片の破断寿命として, (9)式 (Fig. 13 より) が得られる。

$$\Delta \sigma_{hs} = 2.24 \times 10^4 \cdot N_f^{-0.361}$$
 (9)

次に、 40° C人工海水中の小型試験片の破断寿命は、大気中小型試験片の結果((9)式)と腐食係数(K_c)から(10)式で表わされる。

$$\Delta \sigma_{hs} = 2.24 \times 10^4 \cdot N_f^{-0.361} / K_c \tag{10}$$

ここで,

$$K_c = 1.3(5 章 より)$$
 (11)
とする。

(9)式および(10)式から算出される N_r が(1)式の N_r (Specimen)である。この N_r (Specimen)に先に求めた $N_{P,2a \ge 30}$ (Structure)を加算することで,大型構造試験体フェースの破断寿命 N_r (Structure)を推定することができる。

以上の(1)~(3)に基づいて、大気中小型試験片の結果から大気中および40°C人工海水中の大型構造試験体の寿命(フェースの破断)を推定した結果を、Fig. 17に示す。ただし、大型構造試験体のホットスポット応力は、公称応力との平均的な比率(解析(Fig. 4)と実験結果からこの場合2)で補正して示している。大型構造試験体の推定寿命(フェース破断)は、実験結果とほぼ一致している。すなわち、ホットスポット応力を評価の基準とした小型試験片の破断寿命は、大気中および40°C人工海水中ともに大型構造

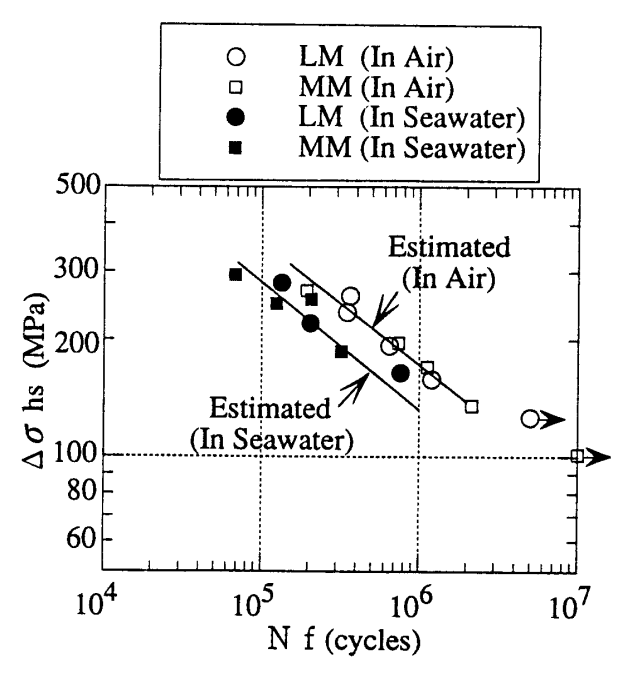


Fig. 17 Estimated results of fatigue strength of LM specimen

試験体の表面亀裂長さ30 mm までの寿命に相当すること の妥当性が検証されたといえよう。

角回し隅肉溶接部における表面亀裂長さ30 mm の意義についてはさらに議論が必要である。しかし、表面亀裂長さ30 mm は、実船においてはほぼ目視での最小発見長さであることや実験室で比較的容易に実施できる小型試験片の破断寿命に相当することなどを考えれば、実船と実験を結び付ける代表値としての意義は大きいと考える。

7. ま と め

船体構造のロンジとトランスとの交差部(亀裂発生はロンジフェース面上のスチフナ角回し隅肉溶接)を模擬した大型構造試験体(TMCP型 KA 32 鋼板)を供試して、バラストタンクの環境により近い条件下での腐食疲労試験を実施し、その腐食疲労挙動を調査した。さらに、角回し隅肉溶接を有する小型および中間型試験片の腐食疲労試験を行い、大型構造試験体との相関性を調査して、小型試験片による試験結果からの船体構造部材の腐食疲労寿命推定法を検討した。結果の概要を以下に示す。

- (1) TMCP型 KA 32 鋼板角回し隅肉溶接継手部の 40° C人工海水中の疲労強度は、大気中に比べ寿命比で約50%(腐食係数: K_c =1.3)程度まで低下する。なお、腐食環境の影響は、試験片の大きさによらず同等であった。
- (2) 中間型試験片と大型構造試験体の疲労試験結果に 有意差は見られず、構造要素を合わせ応力状態を再 現することで、比較的小型の試験片で実構造の疲労 強度を把握できる。

- (3) ホットスポット応力を疲労強度評価の基準として 用いた場合,小型試験片の破断寿命は大型構造試験 体の表面亀裂長さ30mmまでの繰返し数に相当す る。これは,大気中および40°C人工海水中のいずれ においても確認された。
- (4) 船体に影響を及ぼす長い疲労亀裂の寿命推定(亀 裂伝播解析)に関しては,表面亀裂長さ30mmまで の寿命を小型試験片で求めた破断寿命に代表させる ことを提案した。
- (5) 上記(4)の提案手法を用いて,大気中小型試験結果からの大気中ならびに海水中大型構造試験体の寿命(フェース破断)推定を行い,推定寿命と試験結果が一致することを確認した。これにより,提案手法の妥当性を検証した。

なお、船体の腐食疲労寿命を精度よく推定し、管理して 行くためには、長寿命域での実験とデータの積み重ねが必 要であり、更なる研究の展開が期待される。

終に、本論文における実験は、日本財団の補助金を受けて実施された日本造船研究協会第220研究部会の共同研究として実施されたものであり、藤田部会長(東京理科大学)はじめ委員各位に深く謝意を表します。

参考文献

1) 日本造船研究協会第 140 研究部会: バラストタンク の腐食原因および防食方法に関する研究, 研究資料 No. 222 (1975).

- 2) 日本造船研究協会第 202 研究部会:海洋構造物の疲労設計法及び溶接部の品質に関する研究,研究資料 No. 395 (1991).
- 3) 矢島 浩, 川野 始, 多田益男, 他:新制御圧延 (TMCP)型 50 キロ級高張力鋼溶接継手部の疲労強 度とその評価(その4), 西部造船会会報第83号 (1992), pp. 237-244.
- 4) 日本造船研究協会第 220 研究部会: バラストタンク の腐食疲労に関する研究, 平成7年度報告書(総合報告書)(1996).
- 5) 恵美洋彦, 湯浅通史, 熊野 厚, 他:船舶・海洋構造物の寿命評価に関する研究(その3 長寿命計画船体の防食管理と状態評価), 日本造船学会論文集Vol. 174 (1993), pp. 735-744.
- 6) 日本海事協会技術研究所高張力鋼構造検討会: VLCC 船側縦通材の損傷について一高張力鋼構造 検討会報告から一, 平成3年度技術研究所研究発表 会前刷(1991).
- 7) 伏見 彬:疲労亀裂伝播解析手法実用化と SR 219, 造船研究 Vol. 28 No. 1 (1996), pp. 11-15.
- 8) 真谷捷郎, 多田益男, 矢島 浩, 他: TMCP型 50 キロ HT 鋼板溶接継手の海水中疲労き裂伝播特性について, 西部造船会会報第80号(1990), pp. 253-263.
- 9) 永井欣一,岩田光正,矢島 浩,他:軟鋼の塩水中疲 労亀裂伝播速度に及ぼす荷重繰返し速度,平均応力, 温度および陰極防食の影響について,日本造船学会 論文集 Vol. 140 (1976), pp. 255-261.
- 10) H. Tada, P. Paris, G. Irwin: The Stress Analysis of Cracks Handbook (1985).